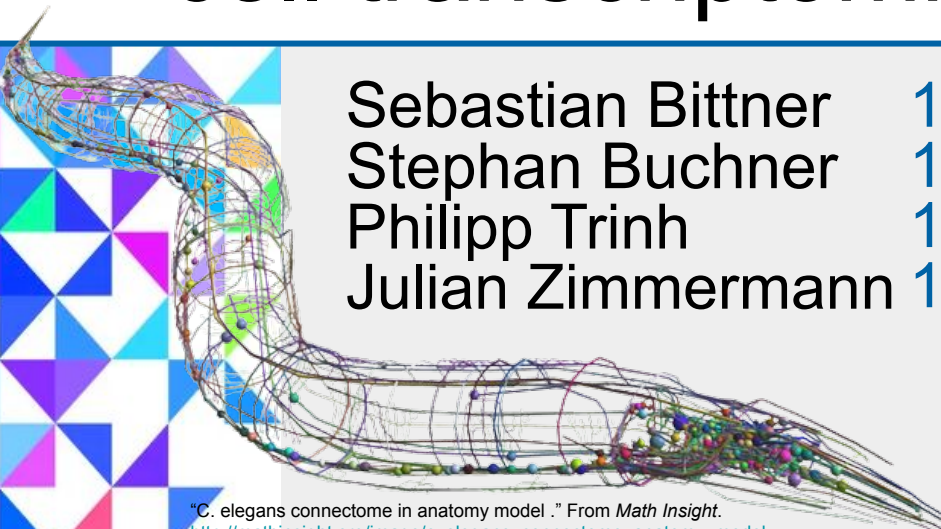
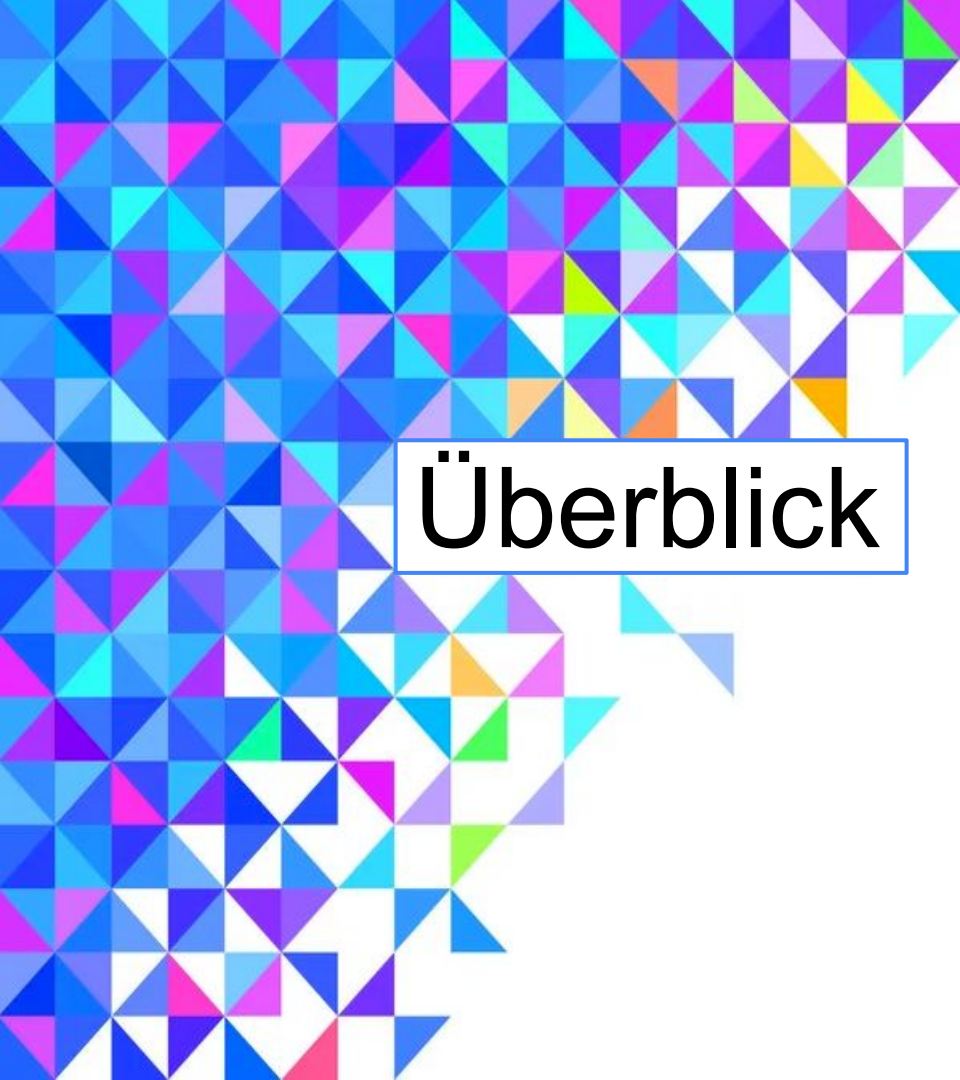




Cell type determination of single cell transcriptomics via ML



Sebastian Bittner 11776808
Stephan Buchner 11805363
Philipp Trinh 11839949
Julian Zimmermann 12144285



Überblick



1. Background / Intro
2. Data exploration
3. Clustering
4. Machine learning Modelle
5. Neural Networks
6. Mögliche Fortsetzung



Background & Data preprocessing



Background

Caenorhabditis elegans

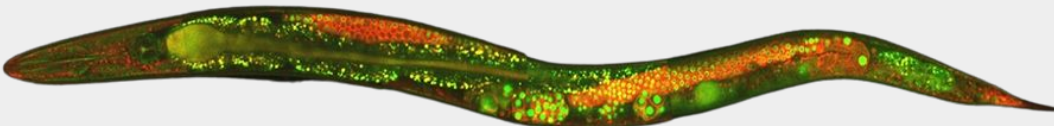
- Fadenwurm
- 1 mm lang
- Im Boden
- Modellorganismus für viele Bereiche der Biologie



by Mark Leaver
https://hymanlab.org/hyman_lab/c-elegans/

Single cell transcriptomics

- Expression jeder Zelle für alle Gene
- Gen-Expressions-Analyse



by Ian Chin-Sang,
Queens University, ON,
Canada



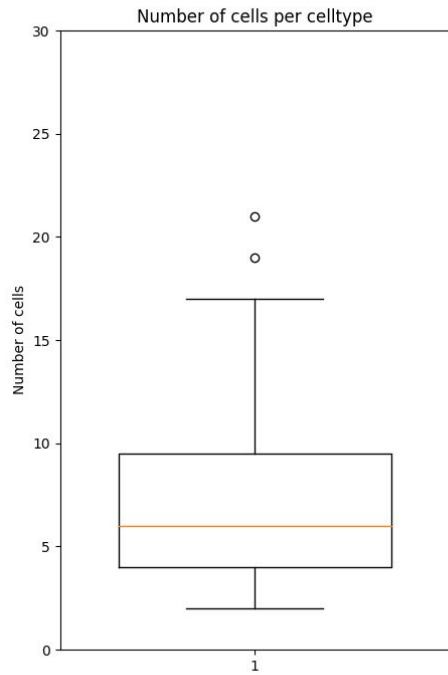
Data preprocessing

- ❖ Filtern via scanpy²:
 - Zellen: minimum 200 Gene exprimiert
 - Gene: minimum in 3 Zellen exprimiert
 - Normalisieren über Zellen
 - Variance stabilization: log1p
 - Selektion von den 2000 variabelsten Genen
- ❖ Batch effects³: z-transformation pro Embryo
- ❖ Selektion von bereits manuell annotierten Zellen⁴
- ❖ Expressionsmatrix: 840 Zellen x 2000 Gene

Data exploration



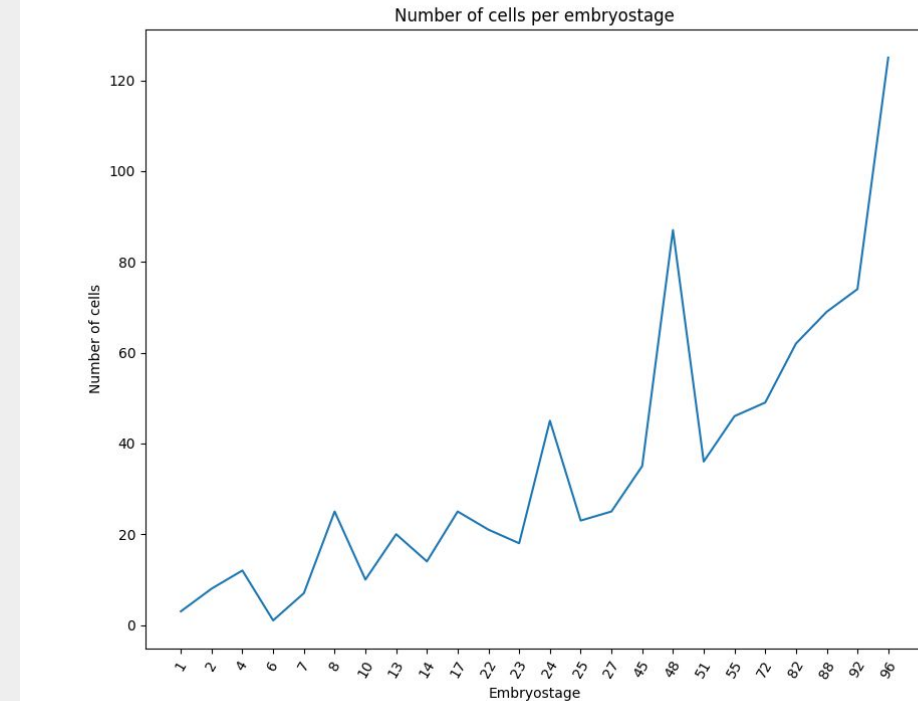
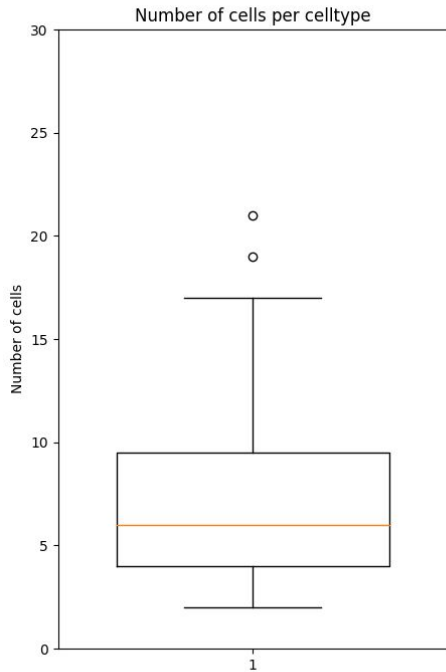
universität
wien



Data exploration

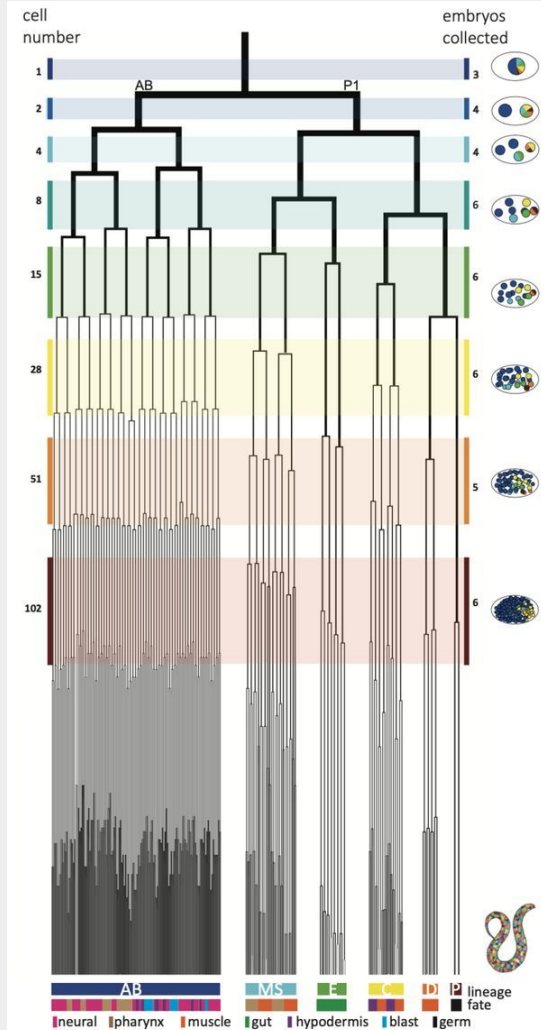
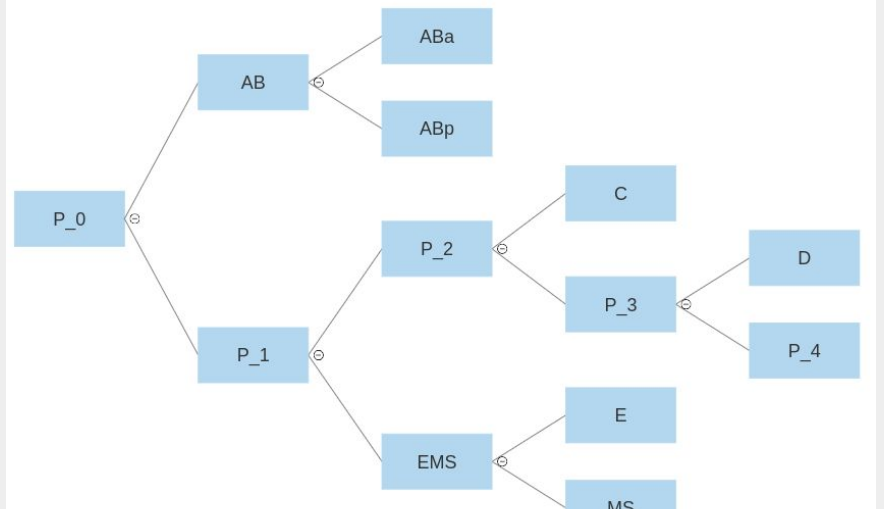


universität
wien



Data exploration II

- ❖ Equivalenzgruppen⁴:
- ❖ 119 Zelltypen
- ❖ Differenzierungsbaum⁵:





universität
wien

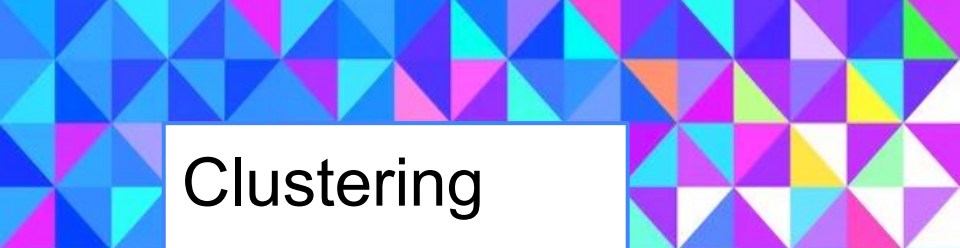
Clustering



Clustering

UMAP⁶:

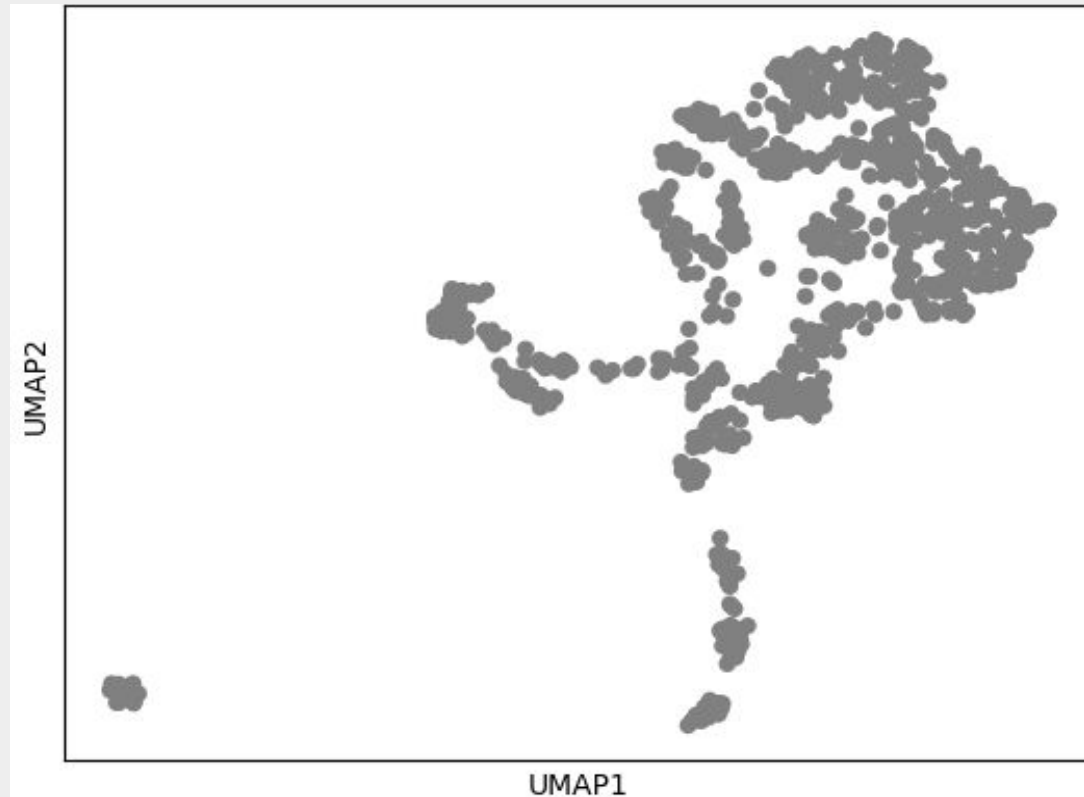
- ❖ Distance Measure zwischen Samples
 - ❖ Lokale Struktur (k-nearest-neighbour -Graph) der Daten
 - ❖ Reduktion der Raumdimension auf 2 bei Erhaltung der Distanzen
- => Methode, mehrdimensionale Datenpunkte zweidimensional darzustellen

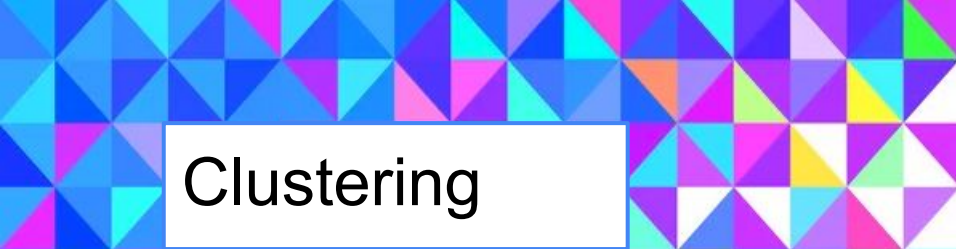


Clustering



universität
wien

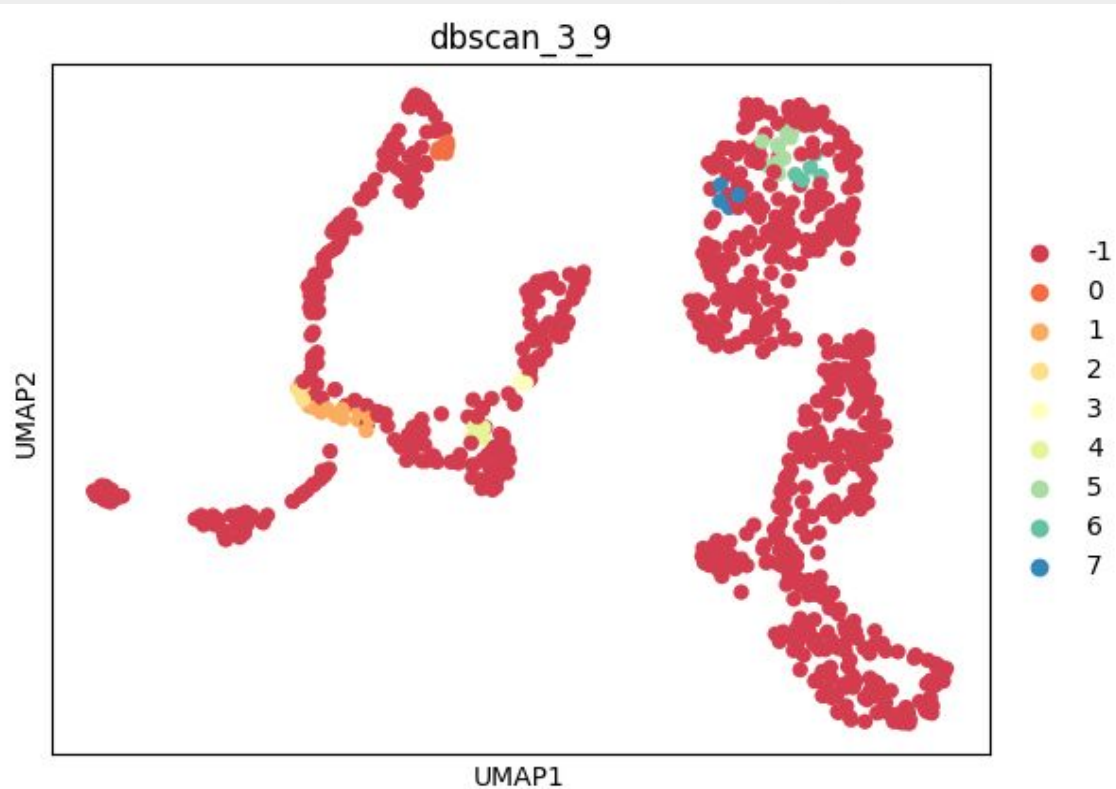




Clustering



universität
wien

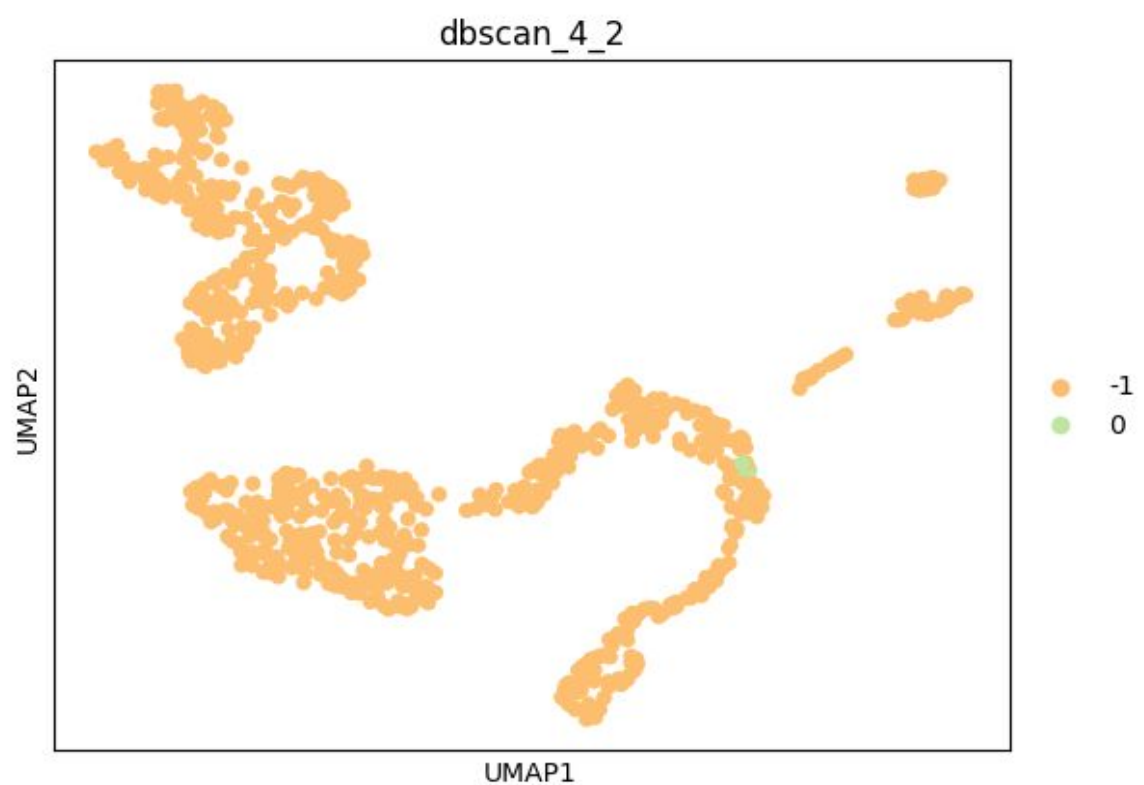




Clustering



universität
wien





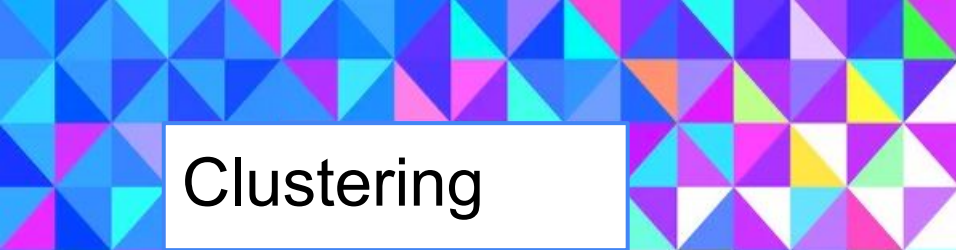
Clustering

Louvain⁷:

- ❖ Distance Measure zwischen Samples
- ❖ k-nearest-neighbour-Graphen der Daten
- ❖ Zuweisung jedes Knotens zu einer “Gemeinschaft”
- ❖ Iterative Neuzuweisung basierend auf Clusterdichte (“Modularität”).

Leiden⁷: Verbesserte Version, robuster gegenüber Rauschen.

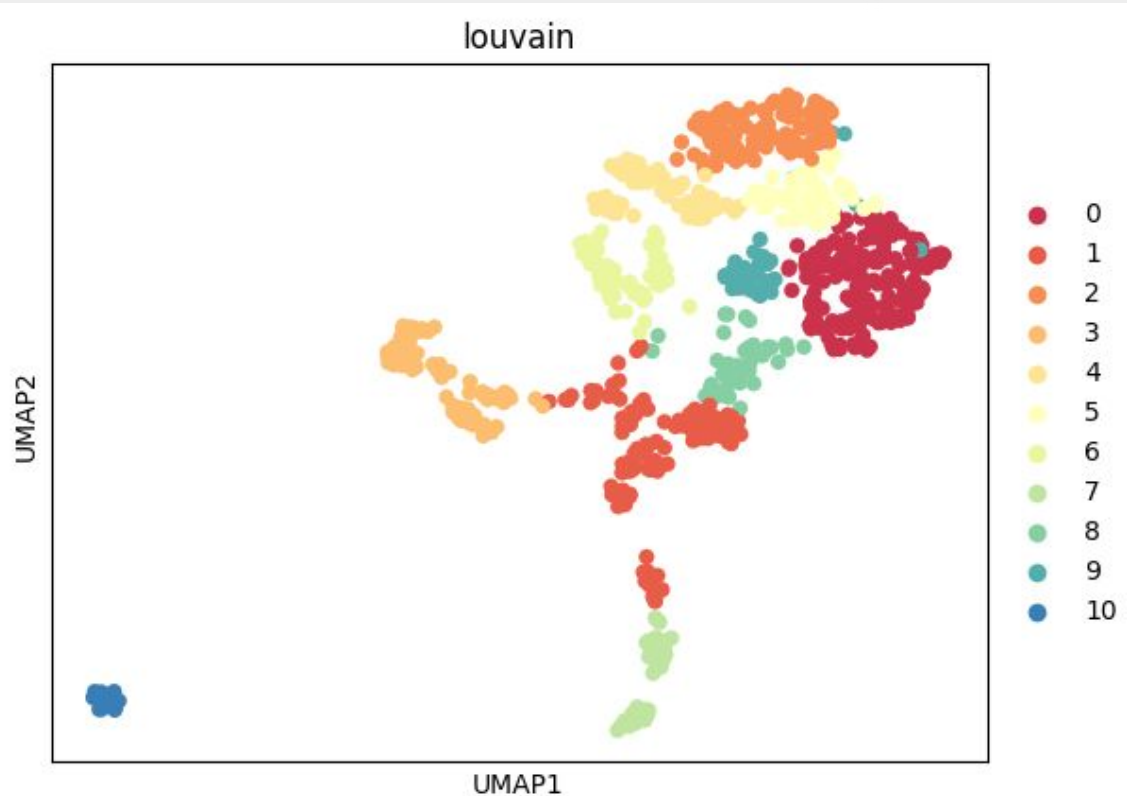
ScanPy: k-nearest-neighbour-Graphen basierend auf Genexpressionsdaten.



Clustering



universität
wien

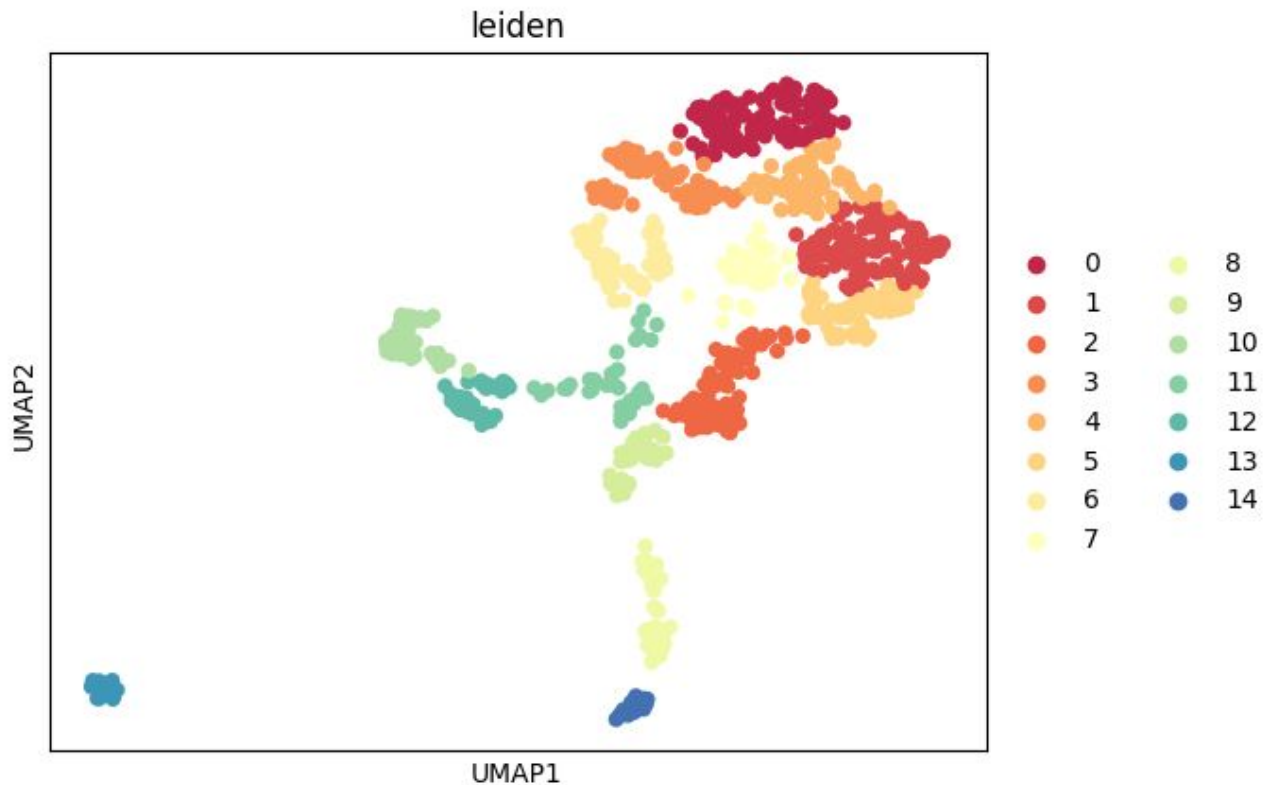




Clustering



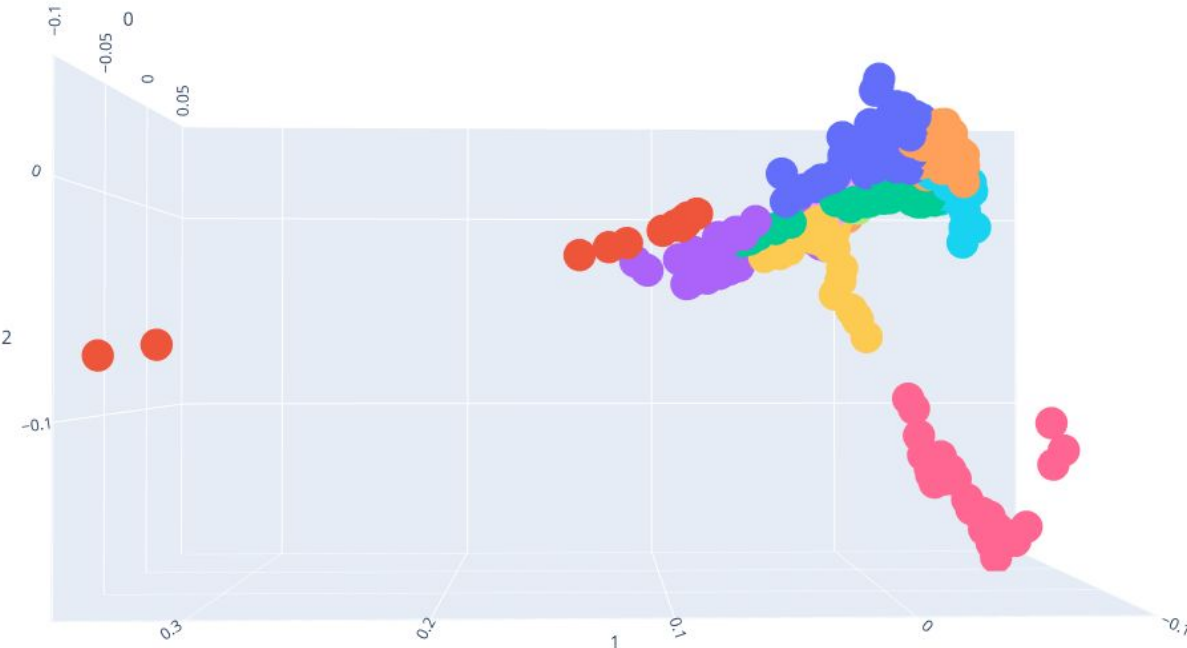
universität
wien



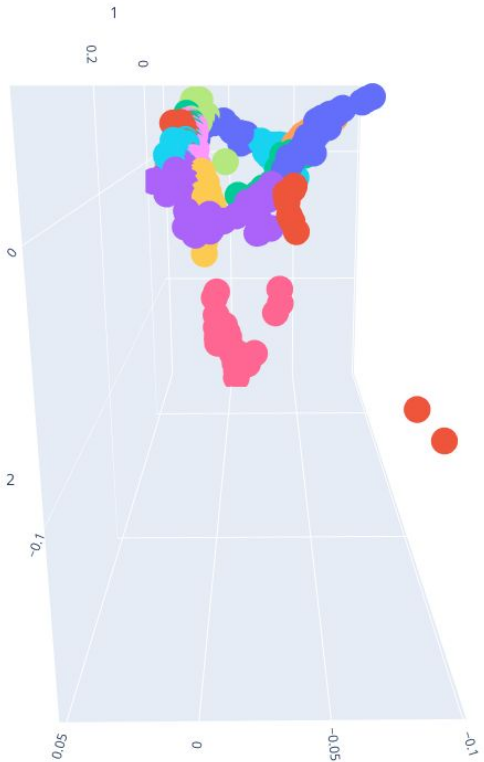
Clustering



universität
wien



Clustering



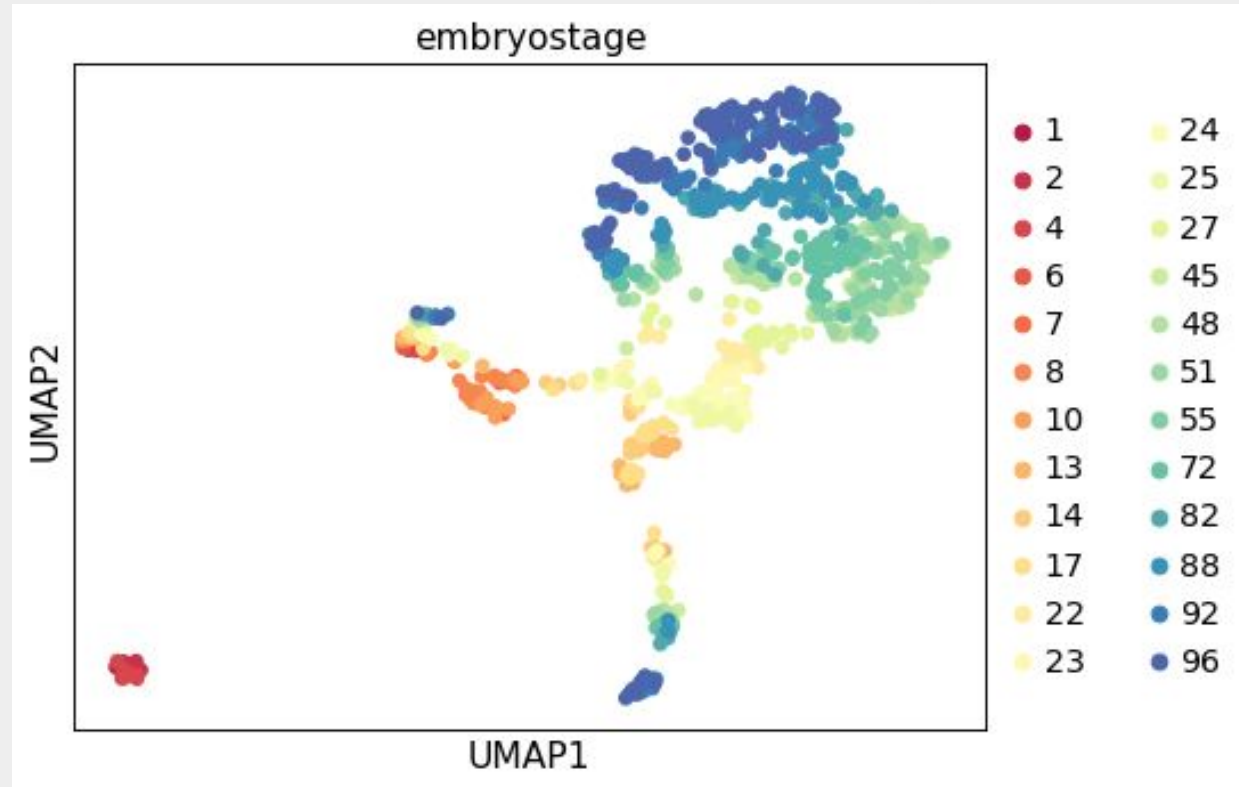
universität
wien



Clustering



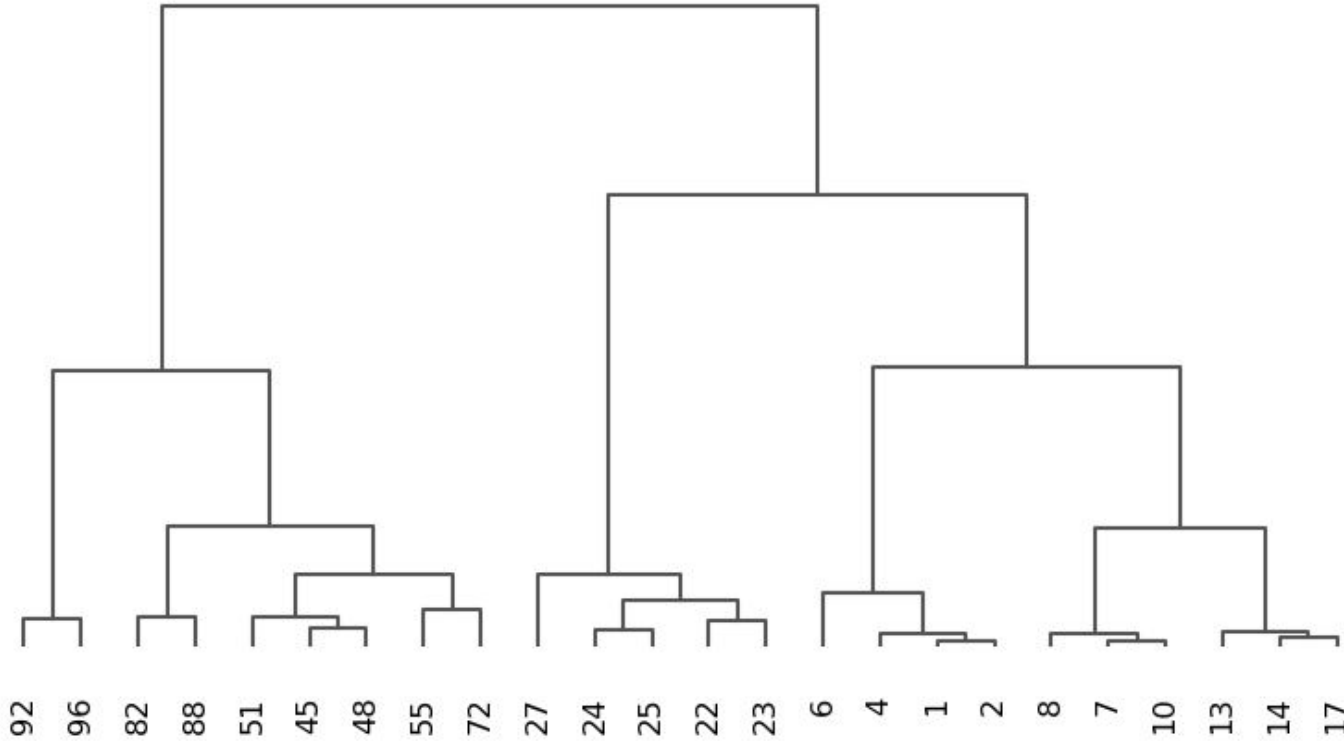
universität
wien



Hierarchical Clustering



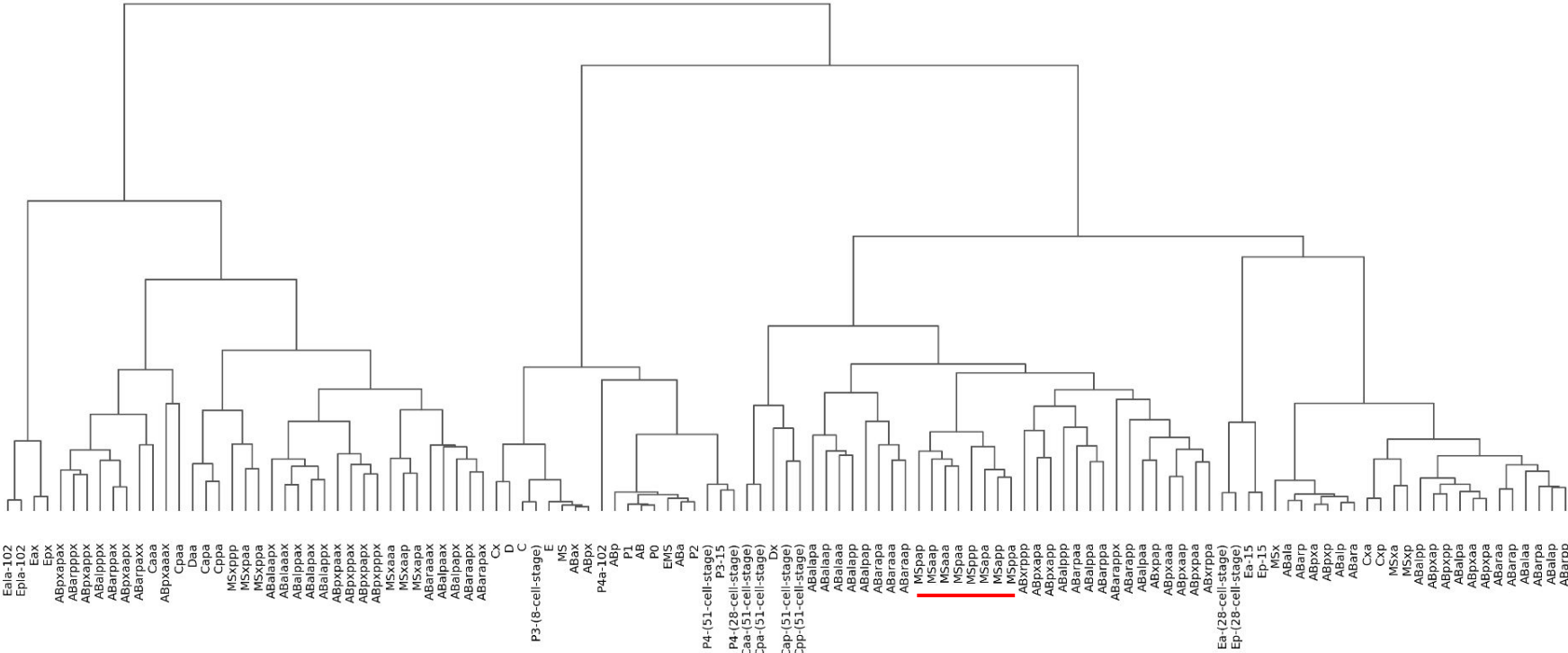
universität
wien



Hierarchical Clustering

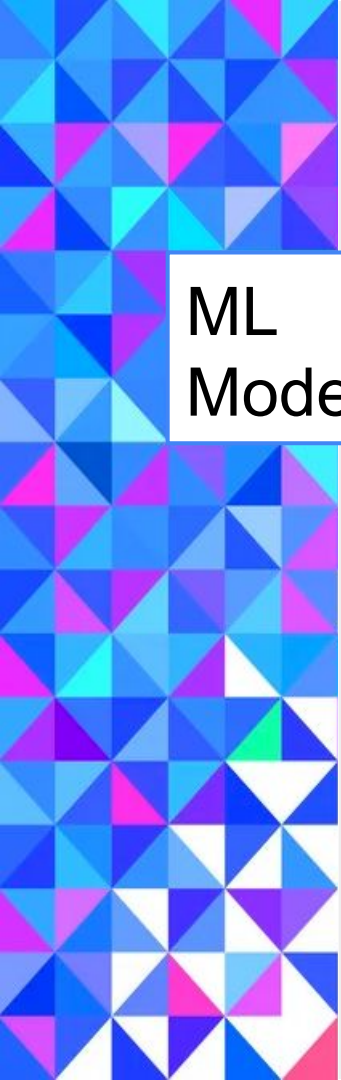


universität
wien





Machine Learning Modelle



ML Modelle

via scikitlearn⁸:

1. SVM
2. Random forest
3. KNeighborsClassifier
4. Multinomial Logistic Regression
5. MLP Classifier
6. Neural Networks



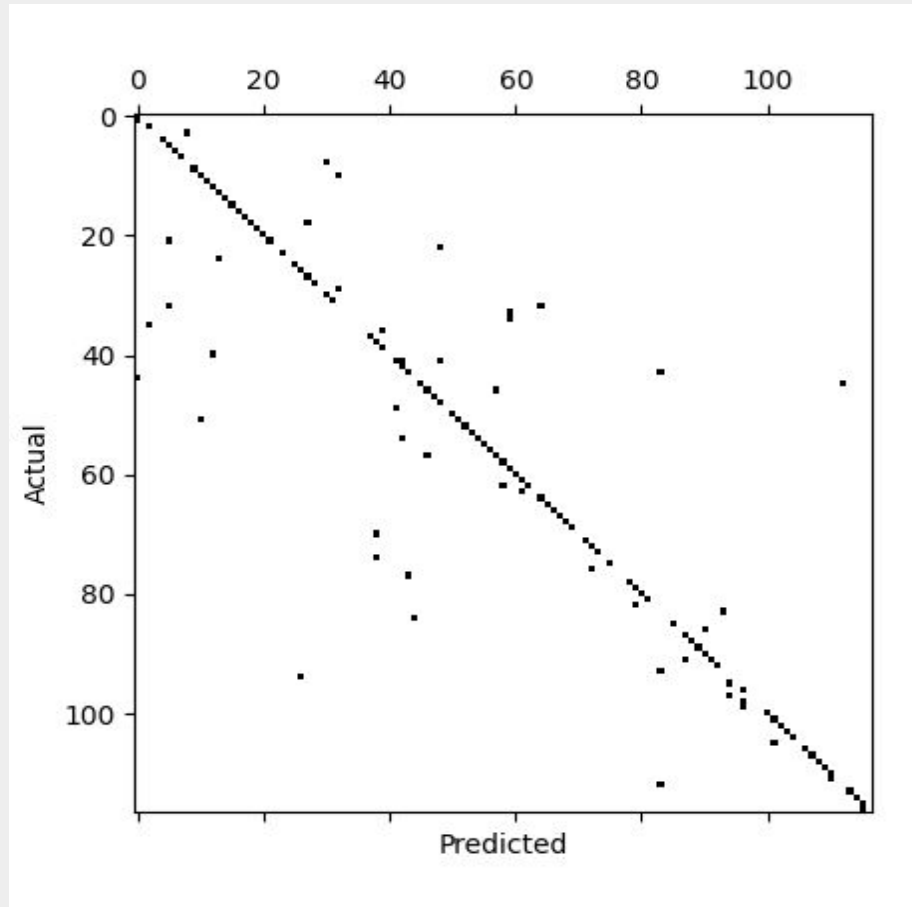
Support Vektor Maschine

1.

- ❖ 72 % true positives
- ❖ hyperparameters:

C	100
kernel	linear

tested param grid =
{"C": [0.1, 0.8, 4, 10, 30, 100],
"kernel": ["linear"]}



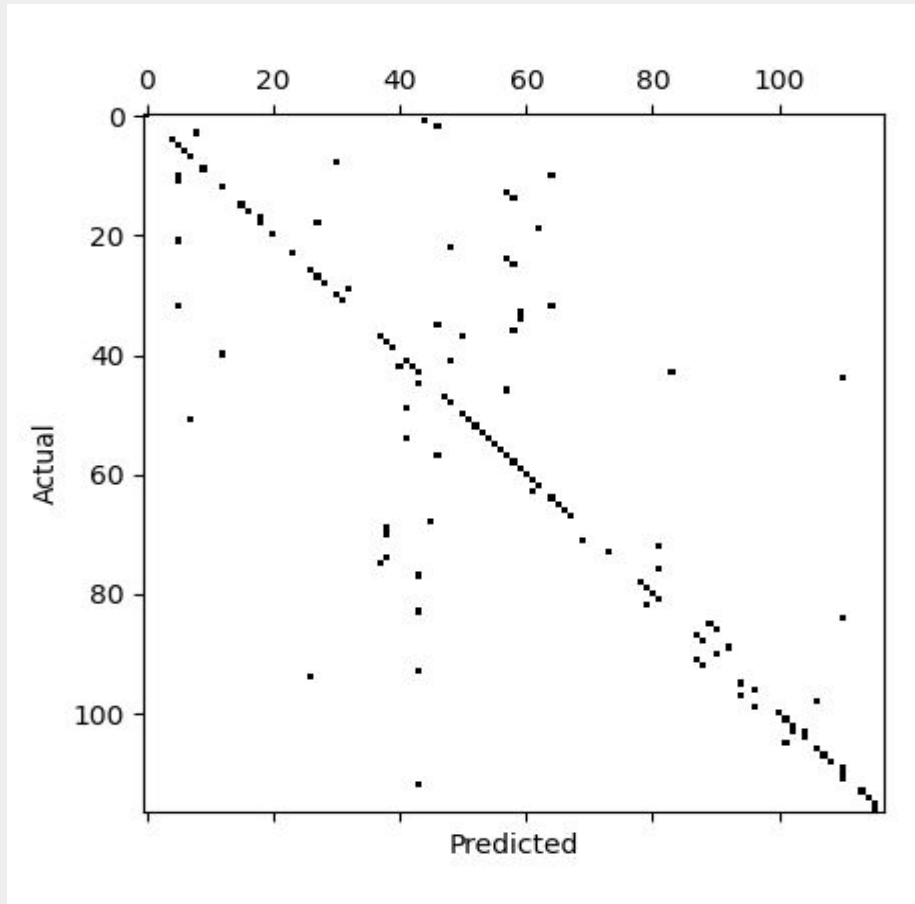
Random Forest

2.

- ❖ 58 % true positives
- ❖ hyperparameters:

n_estimators	1000
max_depth	None

tested param grid =
{"n_estimators": [10, 100, 1000],
"max_depth": [None, 10, 100]}



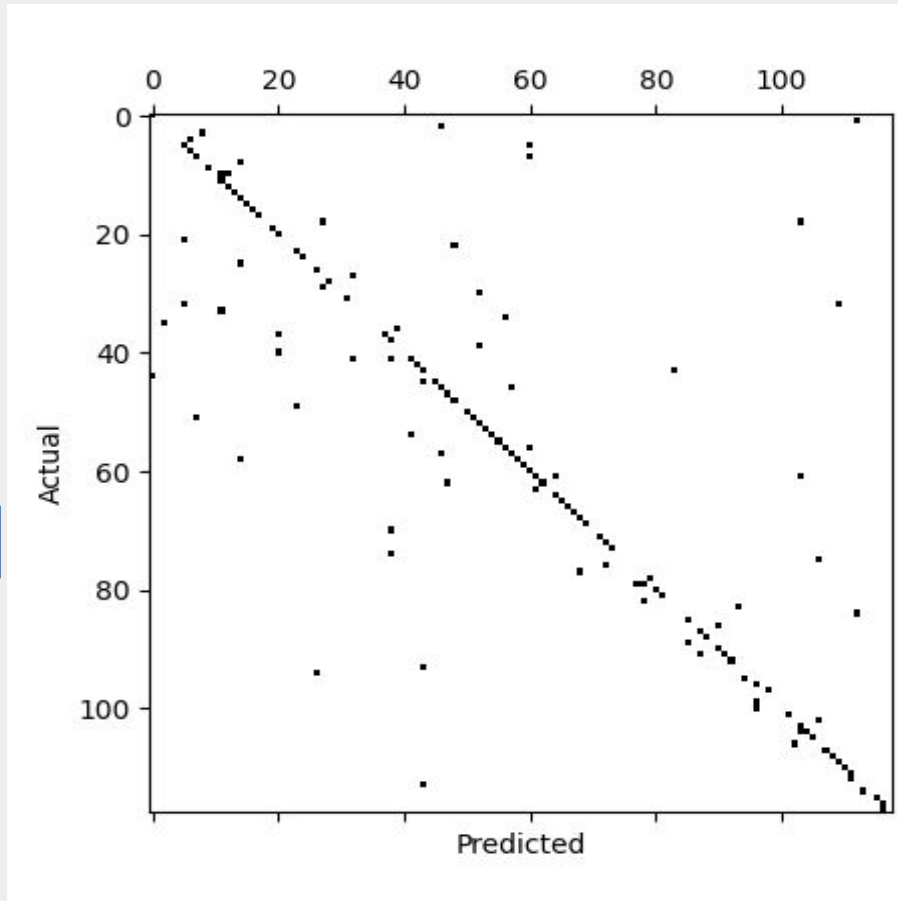
Kneighbors Classifier

3.

- ❖ 58.3 % true positives
- ❖ hyperparameters:

n_neighbors	1
-------------	---

tested param grid = {"n_neighbors": [1, 5, 10, 20, 50]}



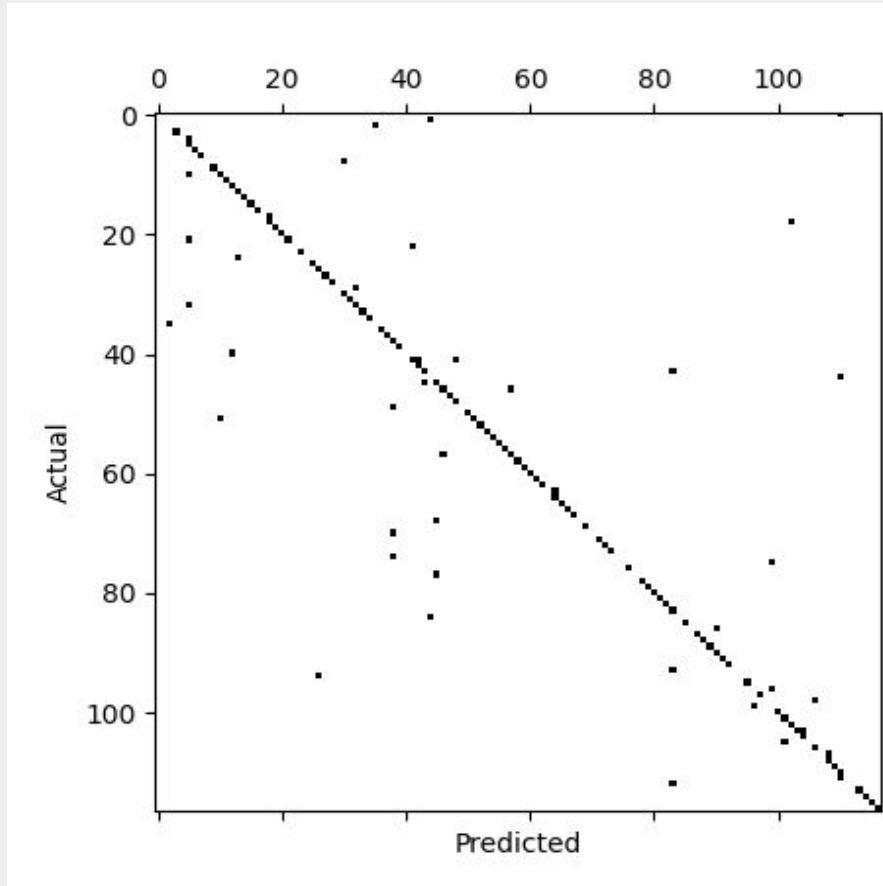
Multinomial Logistic Regression

4.

- ❖ 75 % true positives
- ❖ hyperparameters:

C:	100
penalty	L1
solver	saga
multi_class	multinomial
max iteration	1000

tested param grid =
{'penalty': ['l1', 'l2'],
'solver': ['newton-cg', 'lbfgs', 'saga'],
'C': [0.1, 1, 10, 100]}
'multi_class': ['multinomial'],}



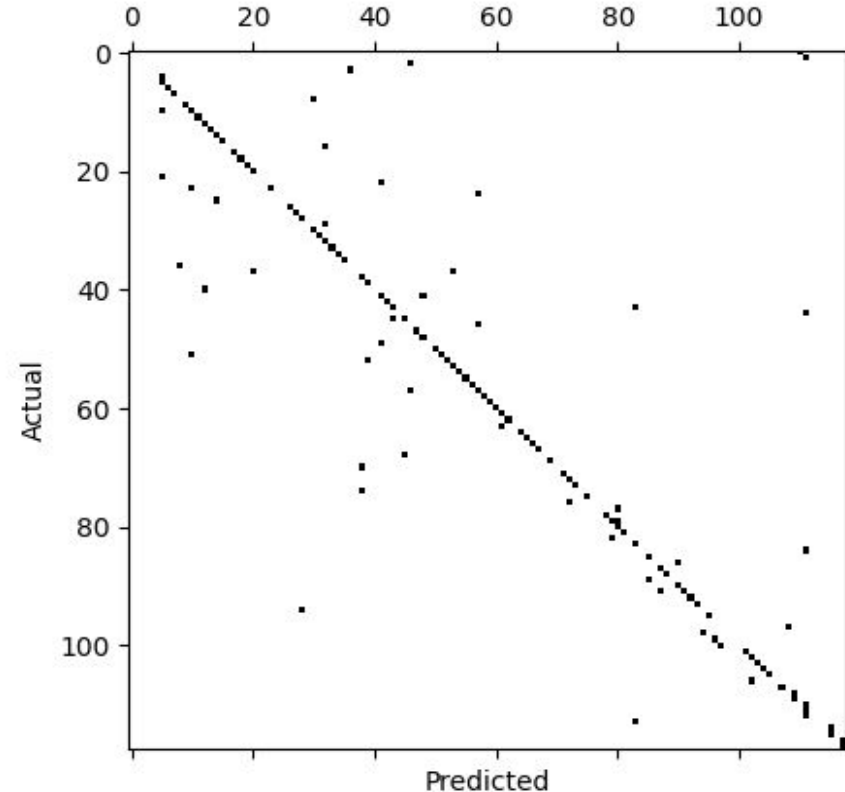
MLP Classifier

5.

- ❖ 68.45 % true positives
- ❖ hyperparameters:

activation:	relu
alpha:	1.00
hidden layer sizes:	(100)
max iteration:	1000

```
tested param grid =  
{"hidden_layer_sizes": [(100,), (100, 100), (100, 100, 100)],  
 "activation": ["relu", "logistic", "tanh"],  
 "alpha": [0.001, 0.1, 0.01, 1]}
```





Neuronale Netzwerke

6.

via tensorflow.keras⁹

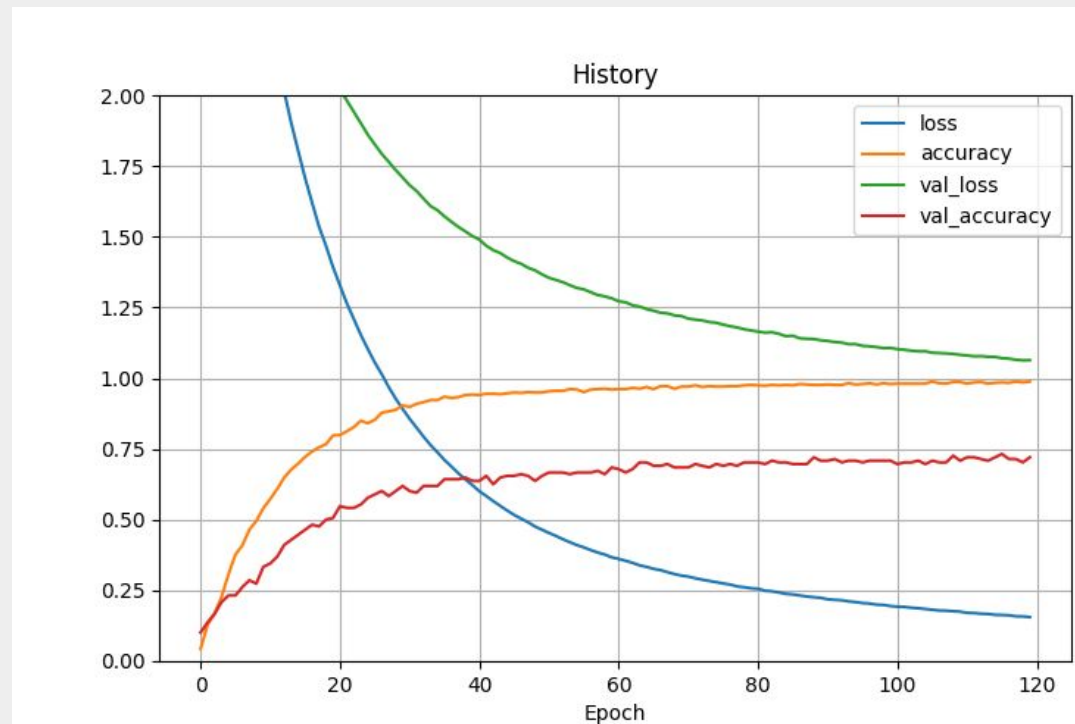


Modell 1

2 Dense layers:	600, 800 Neuronen
Aktivierungsfunktion	tanh
1 Softmax	119 Neuronen (entsprechend den 119 Zelltypen)
optimizer	Standard “Sgd” von keras

Ergebnis Modell 1

Richtig erkannte
Samples:
~68-75%



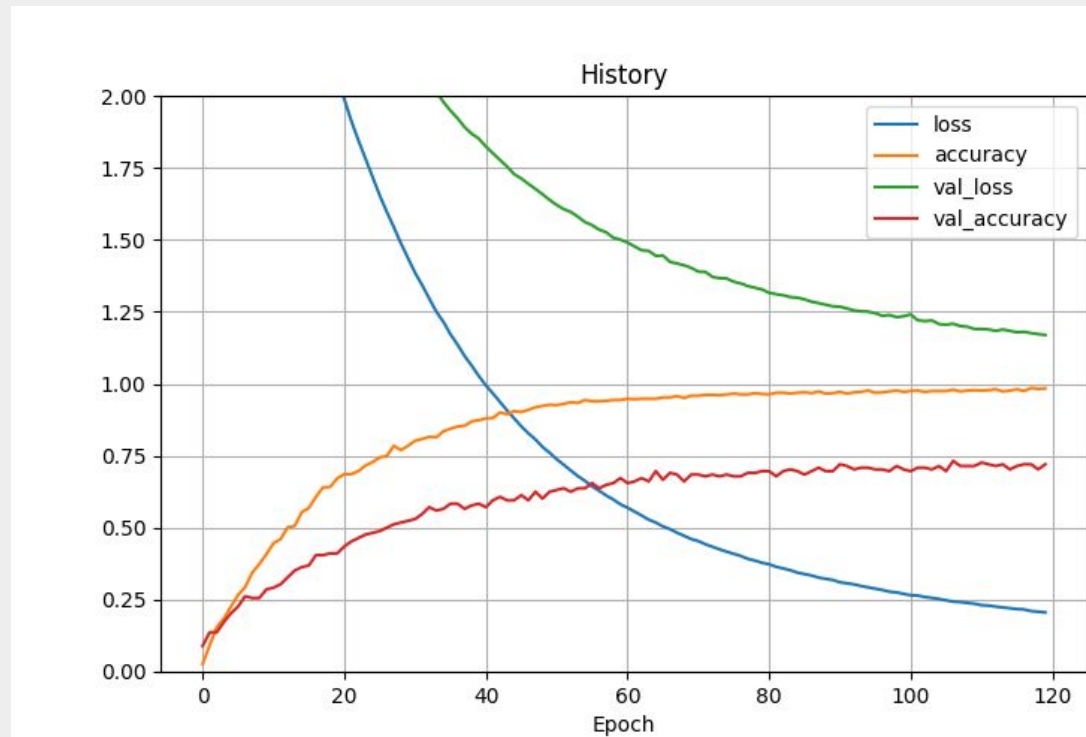


Modell 2

4 Dense layers	500,400,300,200 Neuronen
Aktivierungsfunktion	tanh
1 Softmax	119 Neuronen (entsprechend den 119 Zelltypen)
optimizer	Standard “Sgd” von keras

Ergebnis Modell 2

Richtig erkannte
Samples:
~67-73%



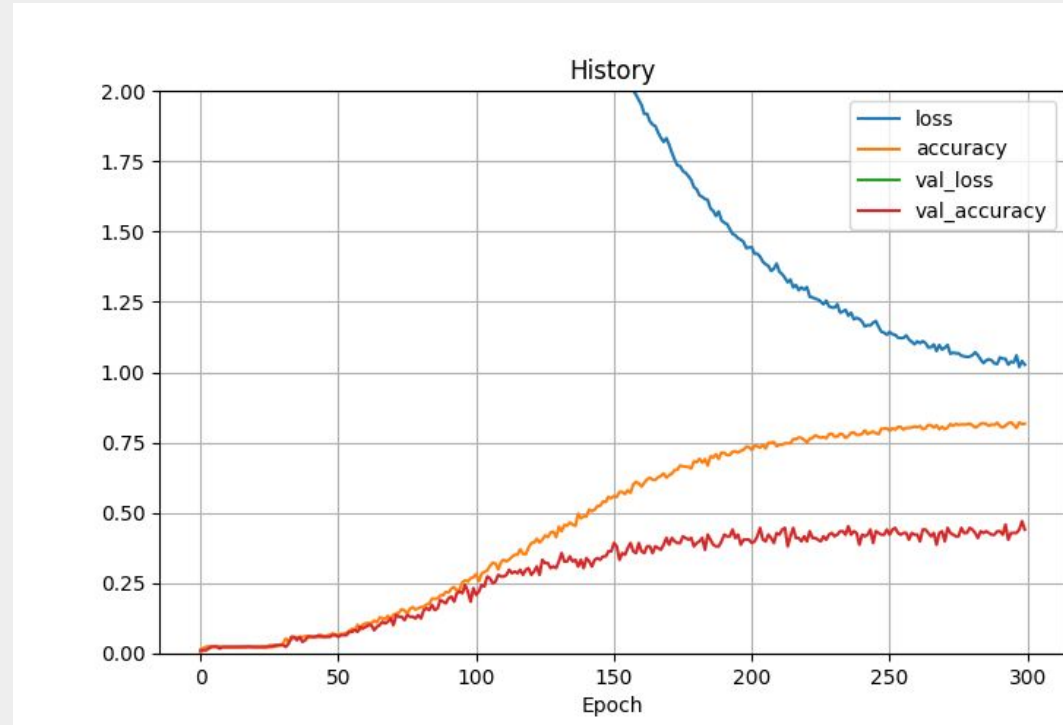


NN with Multihead attention

- ❖ Multihead Attention ist Basis für Transformer -> GPT¹⁰
- ❖ Hat drei inputs (query, key, value)
- ❖ Input ist zu jedem der inputs jeweils durch einen dense layer verbunden
- ❖ Nachher noch ein dense und ein softmax layer
- ❖ Scheint nicht so geeignet zu sein für unsere Daten

Multihead Attention Model Ergebnis

Richtig erkannte
Samples:
~40-50%





Auswirkung der Anzahl an Samples im Trainingsset

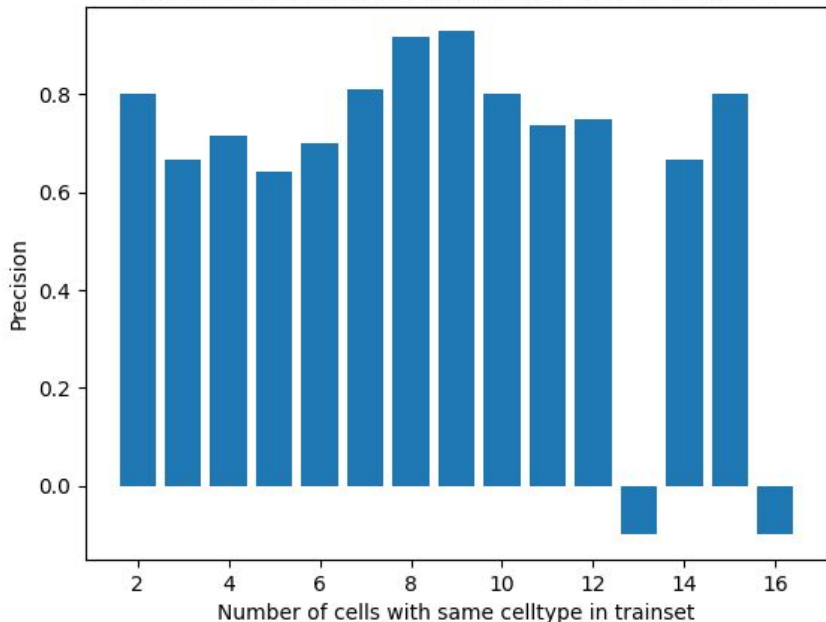
- ❖ Recall: Anzahl richtig erkannter Samples von Zelltypen, die n mal im Trainingsset vorkommen / Anzahl Samples der entsprechenden Zelltypen im Testset
- ❖ Precision: Anzahl richtig erkannter Samples von Zelltypen, die n mal im Trainingsset vorkommen / Anzahl Samples im Testset, die als der entsprechende Zelltyp klassifiziert wurden

Modell 1

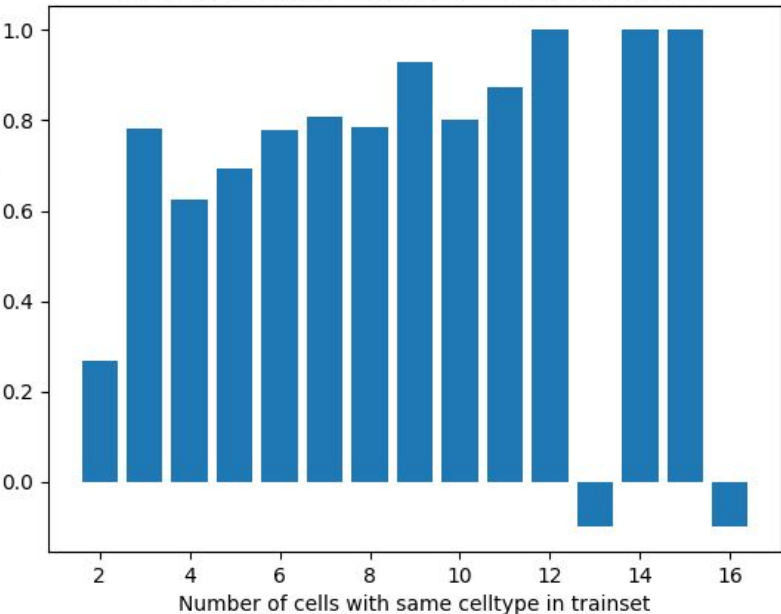


universität
wien

Precision depending on number of cells in train set



Recall depending on number of cells in train set

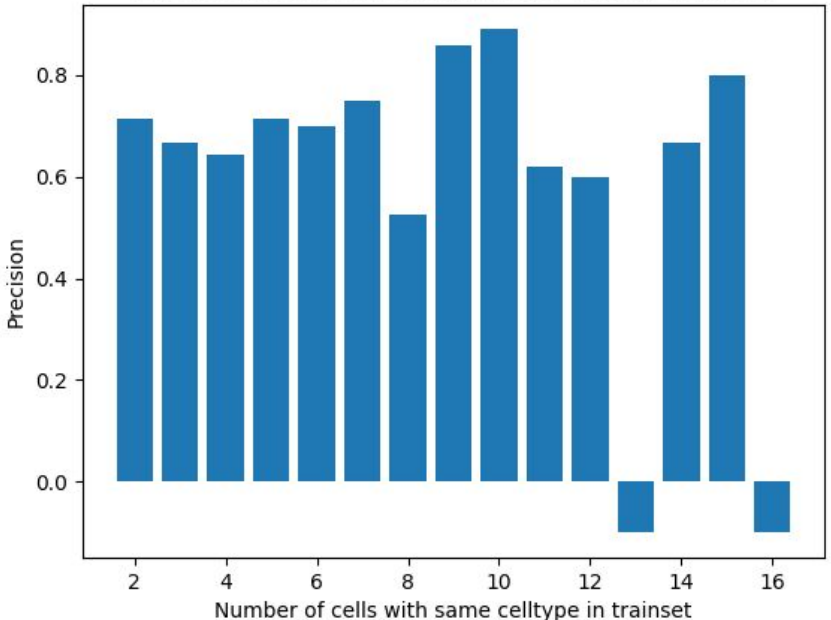


Modell 2

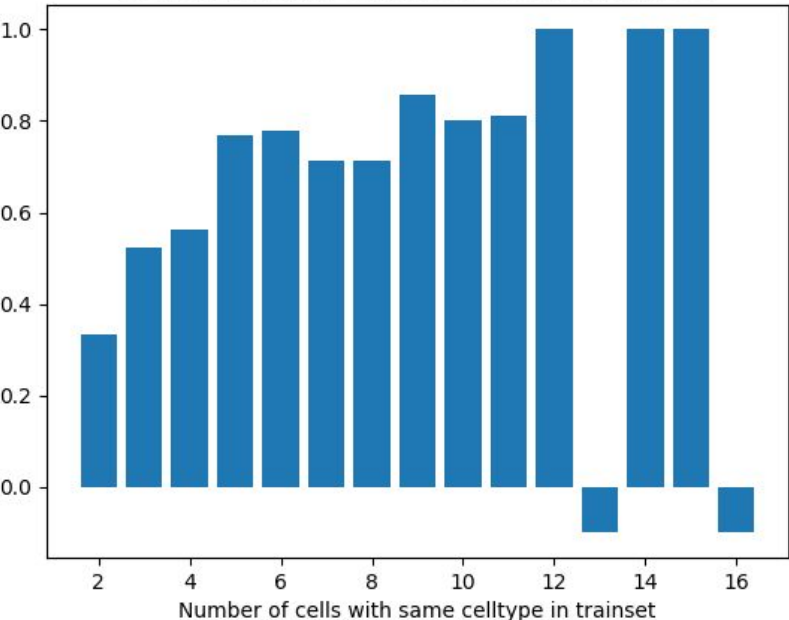


universität
wien

Precision depending on number of cells in train set



Recall depending on number of cells in train set

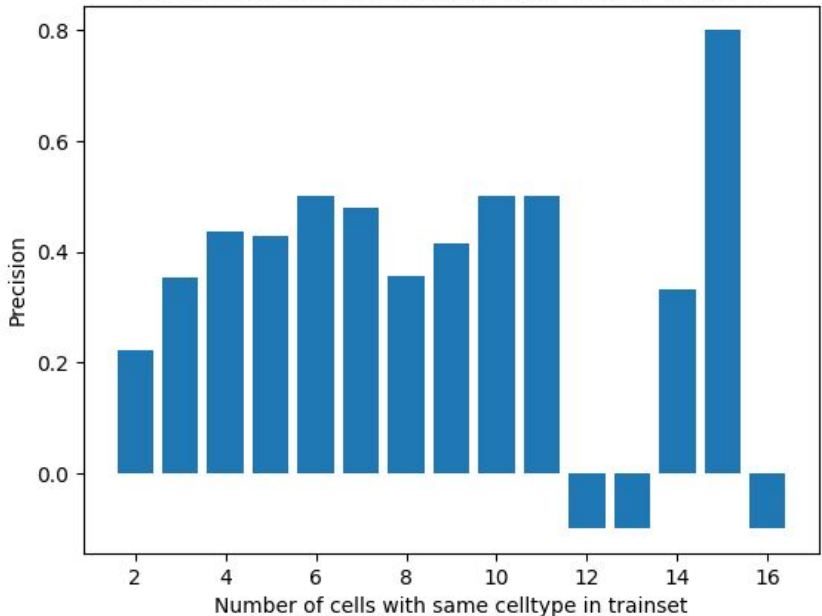


Multihead Attention

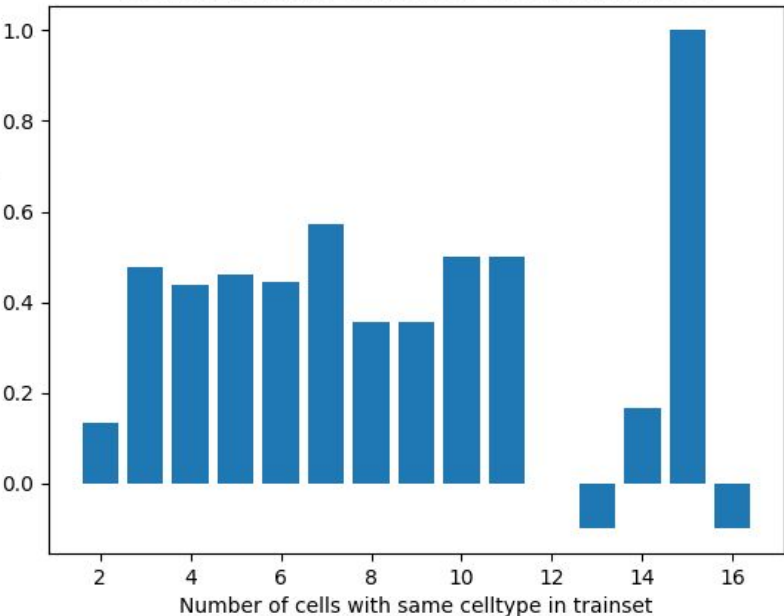


universität
wien

Precision depending on number of cells in train set



Recall depending on number of cells in train set



Modellen-vergleich



universität
wien

Modellname	SVM	Random Forest	Kneighbor Classifier	Multinomial Logistic Regression	MLP	Neural Networks
Test-genaugigkeit	72 %	58 %	58.3 %	75 %	68.45 %	75 %



Mögliche Fortsetzung

- ❖ Semi-supervised learning
- ❖ Andere Dimension-Reduktionsmethoden
- ❖ Andere Resolutions für Clustering-Algorithmen
- ❖ Rohe Daten



Danke!



universität
vienna



Quellenangabe

- 1 Le H, Peng B, Uy J, Carrillo D, Zhang Y, et al. (2022) Machine learning for cell type classification from single nucleus RNA sequencing data. *PLOS ONE* 17(9): e0275070. <https://doi.org/10.1371/journal.pone.0275070>
- 2 Wolf, F. A., Angerer, P., & Theis, F. J. (2018). SCANPY: large-scale single-cell gene expression analysis. *Genome biology*, 19(1), 15. <https://doi.org/10.1186/s13059-017-1382-0>
- 3 Tran, H.T.N., Ang, K.S., Chevrier, M. et al. A benchmark of batch-effect correction methods for single-cell RNA sequencing data. *Genome Biol* 21, 12 (2020). <https://doi.org/10.1186/s13059-019-1850-9>
- 4 Cole, A. G., Hashimshony, T., Du, Z., & Yanai, I. (2023). *Gene regulatory patterning codes in early cell fate specification of the C. elegans embryo*. Cold Spring Harbor Laboratory. <http://dx.doi.org/10.1101/2023.02.05.527193>
- 5 Sulston, J. E., Schierenberg, E., White, J. G., & Thomson, J. N. (1983). The embryonic cell lineage of the nematode *Caenorhabditis elegans*. *Developmental biology*, 100(1), 64–119. [https://doi.org/10.1016/0012-1606\(83\)90201-4](https://doi.org/10.1016/0012-1606(83)90201-4)
- 6 McInnes, L., Healy, J., & Melville, J. (2018, February 9). *UMAP: Uniform manifold approximation and projection for dimension reduction*. arXiv.Org. <https://arxiv.org/abs/1802.03426>
- 7 Traag, V. A., Waltman, L., & van Eck, N. J. (2019). From Louvain to Leiden: Guaranteeing well-connected communities. *Scientific Reports*, 9(1), 1–12. <https://doi.org/10.1038/s41598-019-41695-z>
- 8 Pedregosa, F., Varoquaux, G., Gramfort, A., Michel, V., Thirion, B., Grisel, O., Blondel, M., Müller, A., Nothman, J., Louppé, G., Prettenhofer, P., Weiss, R., Dubourg, V., Vanderplas, J., Passos, A., Cournapeau, D., Brucher, M., Perrot, M., & Duchesnay, É. (2012, January 2). *Scikit-learn: Machine learning in python*. arXiv.Org. <https://arxiv.org/abs/1201.0490>
- 9 Abadi, M., Barham, P., Chen, J., Chen, Z., Davis, A., Dean, J., Devin, M., Ghemawat, S., Irving, G., Isard, M., Kudlur, M., Levenberg, J., Monga, R., Moore, S., Murray, D. G., Steiner, B., Tucker, P., Vasudevan, V., Warden, P., ... Zheng, X. (2016, May 27). TensorFlow: A system for large-scale machine learning. arXiv.Org. <https://arxiv.org/abs/1605.08695>
- 10 Ghojogh, B., & Ghodsi, A. (2020, December 20). *Attention mechanism, transformers, BERT, and GPT: Tutorial and survey*. Unknown. https://www.researchgate.net/publication/347623569_Attention_Mechanism_Transformers_BERT_and_GPT_Tutorial_and_Survey